

1. Arquitectura del Nodo METFI

La arquitectura del Nodo METFI está basada en un enfoque modular y replicable, con un microcontrolador central que coordina la lectura de sensores de campo magnético triaxial, análisis espectral en rangos ELF/VLF, y almacenamiento o transmisión de datos.¹

Componentes principales:

- Microcontrolador (Ej. ESP32, Arduino MKR, Raspberry Pi Pico)
- Sensor de campo magnético triaxial (Ej. magnetómetro HMC5883L o BNO080)
- Etapa de preamplificación y filtrado analógico
- ADC de alta precisión (opcional)
- RTC para sellado temporal (ej. DS3231)
- Módulo de almacenamiento local (SD Card)
- Módulo de comunicación (WiFi, LoRa o USB)

Palabras clave:

METFI, campo toroidal interno, forzamiento electromagnético, núcleo plano terrestre, nodo de acoplamiento, resonancia ELF/VLF, anomalía EMI, ECDO, domo electromagnético, oscilador solar local, red nodal fractal, biacoplamiento resonante, ingeniería inversa de campo, indicadores TCI/DML/HVL, cartografía electromagnética predictiva, antenas 5G toroidales, reorganización toroidal terrestre.

Version 1.0 - Agosto 2025 | Licencia abierta de innovación estratégica (CC-BY-SA 4.0)

2. Esquema Funcional y Sensores

La funcionalidad del nodo METFI parte de una arquitectura modular cuya misión principal es la detección, análisis y correlación de variaciones en el entorno electromagnético interno (EMI) de la Tierra, con el objetivo de anticipar fenómenos geodinámicos críticos relacionados con el modelo de entropía toroidal forzada inducida (METFI).

Núcleo Funcional

El nodo opera como una unidad de adquisición de datos embebida, con los siguientes bloques operativos:

- **Captura de señales electromagnéticas:** Uso de magnetómetros de alta sensibilidad (como fluxgate o sensores de efecto Hall triaxiales) para registrar variaciones lentas y rápidas en el campo B.
- **Análisis espectral de baja frecuencia (ELF/VLF):** Digitalización de señales entre 3 Hz y 30 kHz, con filtrado activo y transformada de Fourier en tiempo real.
- **Control térmico pasivo y activo:** Estabilización de temperatura interna del nodo para garantizar linealidad de respuesta de sensores EMI.
- **Sistema de alimentación autónoma híbrida:** Combinación de energía solar, capacitores de grafeno y, en fase avanzada, captura de energía de fondo EMI.
- **Almacenamiento local redundante:** Incluye microSD y buffer EEPROM para escenarios de desconexión.
- **Transmisión en red mesh:** Cada nodo actúa como repetidor, optimizando cobertura en zonas remotas sin infraestructura.

Sensores Clave y Justificación

1. Magnetómetro triaxial de precisión

- *Modelo sugerido:* Bartington Mag-03 o HMC5883L modificado.
- *Justificación:* Captura de patrones de inversión o fluctuaciones anómalas de campo interno.

2. Sensor de corriente inducida en espiras toroidales

- *Diseño experimental:* Bobina de núcleo aire o ferrita dispuesta en plano horizontal.
- *Objetivo:* Captura de corrientes resonantes circulares o picos de acoplamiento.

3. Sensor de temperatura y presión barométrica

- *Modelo sugerido:* BME280
- *Justificación:* Correlación de variaciones de presión con eventos geoelectricos.

4. Sensor de frecuencia Schumann

- *Diseño:* Antena activa y amplificador de alta ganancia filtrado en 7.83 Hz, 14.3 Hz, etc.
- *Objetivo:* Medición del acoplamiento con la cavidad ionosfera-superficie terrestre.

5. Sensor de voltaje atmosférico vertical

- *Diseño:* Placa elevada conectada a amplificador operacional de alta impedancia.

- *Finalidad:* Medición de diferencias de potencial atmosférico vinculadas a inestabilidad geomagnética.

6. **Sensor sísmico MEMS (opcional)**

- *Modelo sugerido:* ADXL355 con orientación vertical.
- *Objetivo:* Captura de microoscilaciones que podrían preceder a eventos de desacoplamiento núcleo-manto.

3. Lógica de Firmware, Protocolos y Gestión de Eventos EMI

El nodo METFI opera bajo una lógica de firmware diseñada para funcionar en tiempo real, de manera autónoma y con bajo consumo energético, garantizando la detección y clasificación de patrones electromagnéticos asociados a fases de pre-colapso geodinámico según el modelo METFI.

Arquitectura del Firmware

El sistema embebido del nodo se estructura en capas funcionales:

- **Kernel de tiempo real (RTOS o bucle estructurado de interrupciones)**
- **Controlador de sensores con diagnóstico de salud interna (self-test)**
- **Módulo de preprocesamiento de señal (filtro digital, normalización, FFT)**
- **Gestor de eventos EMI (detector de umbrales, lógica de patrón y firma espectral)**
- **Sistema de almacenamiento redundante**
- **Módulo de comunicaciones en malla (LoRa/ESP-NOW/ZigBee)**

Flujo de Proceso

1. Adquisición

Los sensores recogen datos en intervalos adaptativos (cada 5 segundos a 10 minutos), según el nivel de actividad de fondo.

2. Preprocesamiento

Se aplican filtros digitales (p. ej., FIR) y normalización. En señales ELF/VLF se calcula FFT para obtener espectro de potencia.

3. Reconocimiento de patrón

Algoritmos ligeros (basados en ventanas móviles y coeficientes de correlación) identifican anomalías en las siguientes formas:

- Incrementos sostenidos de energía en bandas críticas (ej. 7–30 Hz)
- Cambios abruptos en la relación entre ejes triaxiales del campo B
- Aumento de picos en esquemas toroidales de acoplamiento

4. Generación de evento EMI

Cuando se supera un umbral, se emite un *flag* de evento, codificado con metadatos: {timestamp, tipo_evento, firma_espectral, posición GPS, nodo_ID}

5. Gestión de eventos

- Se almacenan localmente en log redundante
- Se transmite a nodos vecinos y a nodo central
- Se calcula la persistencia temporal y espacial para inferencia de gradiente

6. Resiliencia y sincronización

Cada nodo sincroniza su reloj por GPS o protocolo PTP (Precision Time Protocol). Incluye lógica de *watchdog* para recuperación ante fallos y checksum de integridad.

Protocolos de Comunicación

- **Primario:** LoRa (868 MHz o 433 MHz), con canal dedicado a eventos críticos EMI.
- **Secundario:** WiFi o ESP-NOW para acceso local de configuración.
- **Mesh:** Algoritmo flooding controlado (TTL y hashing de paquete) para evitar redundancias.

Comandos Especiales

- `SYNC_ALL`: Forzar sincronización de nodos vecinos
- `DUMP_EVENTS`: Extraer log de eventos locales
- `SET_THRESHOLD`: Ajustar umbrales de disparo dinámicamente
- `FORCE_SCAN`: Activar todos los sensores en modo intensivo durante 10 min

4. Topología de Red y Despliegue en Campo

La eficacia del sistema METFI depende de una arquitectura distribuida y redundante, capaz de captar variaciones espaciotemporales en el campo electromagnético interno (EMI). La topología de red se basa en una estructura semi-malla, con capacidades de autoorganización, resiliencia y localización.

4.1 Principios de la Arquitectura de Red

- **Heterogeneidad funcional:** Se distinguen nodos básicos, nodos intermedios de repetición y nodos centinela con capacidad analítica ampliada.
- **Redundancia de rutas:** Cada nodo mantiene al menos tres rutas posibles para retransmitir un evento EMI.
- **Desacoplamiento jerárquico:** Los nodos pueden operar de forma autónoma sin requerir validación central para decisiones locales.
- **Distribución por fractalidad geológica:** El diseño sigue una lógica de fractalidad tectónica y geomagnética, adaptando la densidad de nodos a zonas de gradiente anómalo.

4.2 Tipos de Nodos

Tipo de Nodo	Función Principal	Componentes Clave	Densidad Recomendada
Nodo Básico	Captación local EMI + transmisión	Sensor triaxial, microcontrolador, LoRa	1 cada 5–10 km ² (zona neutra)
Nodo Repetidor	Ampliación de señal + sincronización	LoRa + batería solar, GPS	1 cada 10 nodos básicos
Nodo Centinela	Análisis espectral local + gateway	Microprocesador, FFT onboard, WiFi + LoRa	1 por región crítica (AAS, placas)
Nodo Sombra	Captación pasiva en áreas subterráneas	Antena enterrada, logger local, sin transmisión	1 cada 3 nodos en zona volcánica

4.3 Estrategia de Despliegue

El despliegue se realiza en tres fases:

1. **Fase Alfa (topología mínima viable)**
Se seleccionan 6 a 12 nodos para establecer una celda de calibración experimental en un radio de 10 km.
Objetivo: establecer ruido base, calibrar firmware y validar umbrales.
2. **Fase Beta (topología extendida)**
Se amplía la red hacia zonas de interés geodinámico y/o histórico (fallas, domos magnéticos, volcanes).
Objetivo: trazar mapas de gradiente EMI estacionales.
3. **Fase Operativa (nube inteligente METFI)**
Implementación de lógica federada, aprendizaje continuo y detección automática de anomalías.
Objetivo: seguimiento de eventos precursores y generación de alertas probabilísticas.

4.4 Criterios de Instalación

- **Orientación:** Sensores triaxiales deben estar nivelados y alineados al Norte magnético.
- **Aislamiento EMI local:** Se deben evitar interferencias cercanas (torres de alta tensión, routers WiFi, motores).
- **Protección:** Envoltentes IP65 o superiores, con protección UV y antivandálica.
- **Energía:** Panel solar con batería de litio-fosfato (LiFePO_4) o supercondensador híbrido.
- **Sincronización temporal:** Idealmente con GPS, o PTP vía nodo centinela cercano.

4.5 Análisis de Gradiente

La red permite el seguimiento de la evolución espacio-temporal de las firmas EMI mediante triangulación espectral. Esta técnica posibilita inferencias sobre la formación de nodos de inestabilidad, activación toroidal o estructuras de acoplamiento resonante entre capas internas.

5. Tipologías de Anomalías EMI y su Correlato Geodinámico

El análisis espectral y de fase de los registros EMI revela patrones que, en el contexto del modelo METFI, no se interpretan como simples fluctuaciones del entorno, sino como manifestaciones de procesos internos en desequilibrio o acoplamiento resonante. A continuación, se describen las principales tipologías observadas y su posible equivalencia geodinámica.

5.1 Clasificación Espectral Básica

Tipología EMI	Frecuencia dominante	Duración típica	Posible fuente interna (según METFI)
Tipo A (VLF)	3–30 Hz	Pulsos de 2–5 s	Activación de toroides núcleo-litosfera
Tipo B (ELF)	30–300 Hz	Ráfagas cíclicas	Desacoplamientos transitorios manto corteza
Tipo C (HF)	300 Hz – 10 kHz	Continúa	Corrientes inducidas por campos externos modulados
Tipo D (Fractal)	Multibanda	Irregular	Colapso jerárquico de estructuras internas (ECDO)

5.2 Anomalías Espaciotemporales

- **Anomalías estacionarias:** Permanecen en una misma ubicación con poca variación espectral. Suelen correlacionarse con domos magnéticos, zonas de alta susceptibilidad paramagnética o estructuras subterráneas con acoplamiento estable.
- **Anomalías móviles:** Se desplazan en patrones lentos (metros a kilómetros por semana). A menudo, anteceden sismos, deformaciones superficiales o emisiones geoacústicas.
- **Anomalías rítmicas:** Presentan pulsaciones horarias, diurnas o mensuales. Pueden vincularse a resonancias forzadas por lunas cercanas (modelo cosmológico alternativo), ciclos térmicos internos o modulación solar no baricéntrica.

5.3 Firmas Precursoras de Colapso

En el marco METFI, ciertas configuraciones de anomalías se consideran **precursoras electromagnéticas críticas**:

- **Triada resonante:** Coincidencia de tres frecuencias armónicas persistentes, habitualmente en la proporción 1:2:4. Aparece semanas antes de eventos volcánicos mayores.
- **Zona de cancelación:** Espacios donde las señales EMI desaparecen abruptamente durante horas o días. Se interpreta como reorganización toroidal profunda con efecto de apantallamiento local.
- **Nódulo toroidal pulsante:** Región que emite pulsos cuasi-periódicos en rangos ELF (5–8 Hz) sincronizados entre nodos distantes. Se vincula a inestabilidades resonantes del núcleo plano.

5.4 Índices Derivados

Para facilitar el seguimiento operacional, pueden derivarse indicadores sintéticos a partir de los datos en red:

Índice	Definición	Aplicación
TCI (Toroidal Coherence Index)	Coherencia espectral entre nodos en bandas VLF	Detectar fases de activación toroidal
DMI (Disruption Modulation Index)	Variabilidad abrupta en el espectro local normalizado	Evaluar eventos de desacoplamiento

Índice	Definición	Aplicación
HVI (Harmonic Vector Index)	Presencia de múltiples armónicos en un nodo	Evaluar riesgo de colapso jerárquico interno

5.5 Conexiones con Datos Geofísicos Clásicos

El cruce con registros sismológicos, geoacústicos, gravimétricos o de gases traza (como radón) ha mostrado correlaciones con ciertas firmas EMI:

- Aumento del DMI y TCI precede emisiones de gas por fallas activas en zonas de deformación.
- Presencia de nódulos pulsantes coincide con detecciones infrarrojas anómalas en satélites (IR pre-sísmico).
- Zonas de cancelación EMI tienden a superponerse con puntos de tensión crítica identificados por modelos de deformación superficial.

6. Integración con Modelos Cosmológicos Alternativos y Resonancia Solar Cercana

El modelo METFI presupone que el entorno electromagnético terrestre —incluido su núcleo plano y los campos toroidales asociados— no responde de forma pasiva a influencias cósmicas remotas, sino que mantiene una relación resonante activa con una fuente solar mucho más próxima y electromagnéticamente relevante que la aceptada por la cosmología heliocéntrica convencional. Esta premisa transforma radicalmente la interpretación de los datos EMI detectados.

6.1 El Sol como Oscilador Resonante Local

En METFI, el Sol actúa como un **oscilador toroidal electromagnético**, cuya distancia real sería significativamente menor, permitiendo interacciones de tipo acoplado con los campos internos de la Tierra. Este modelo implica:

- **Acoplamiento inductivo** directo entre las estructuras toroidales del núcleo terrestre y las envolventes solares.
- **Modulación rítmica** de los campos internos por frecuencias portadoras emitidas desde el Sol cercano (especialmente en el rango ELF/VLF).
- **Transferencia energética radial** que no depende de radiación térmica sino de paquetes de energía estructurada que excitan configuraciones resonantes dentro de la Tierra.

6.2 Resonancia Estacional y Eventos de Transducción

La disposición orbital percibida en METFI permite intervalos específicos de máxima interacción electromagnética entre el Sol y el subsistema Tierra-núcleo:

- **Solsticios:** Picos en la transmisión resonante, asociados a reorganización de los lóbulos toroidales. Se han registrado incrementos en la actividad EMI tipo D (fractal) durante estas fechas.
- **Equinoccios:** Momentos de transición resonante, donde frecuencias latentes se vuelven activas. Correlaciona con aparición de anomalías móviles tipo B.
- **Puntos nodales internos:** Zonas y momentos donde los patrones solares generan interferencia constructiva sobre configuraciones toroidales internas, provocando potenciales eventos ECDO localizados.

6.3 Lunas Cercanas como Moduladores Interferenciales

El modelo METFI contempla la existencia de uno o más cuerpos lunares **más próximos, densos y electromagnéticamente activos** que los reconocidos actualmente. Estos objetos funcionarían como moduladores de fase o interferencia sobre las señales solares:

- Modulan frecuencias específicas percibidas en los nodos EMI como armónicos estacionarios.
- Generan sombras resonantes móviles que se traducen en caídas de coherencia espectral.
- Pueden estar implicados en la génesis de **zonas de cancelación EMI** (véase sección anterior).

6.4 Nodo Torus-Domo: Geometría del Acoplamiento Superior

La resonancia general se canalizaría a través de un sistema toroide-domo:

- El **Toroide Solar Interno** emite paquetes estructurados de energía en frecuencias fundamentales.
- El **Domo Electromagnético** actúa como frontera resonante, filtrando, refractando o redirigiendo esas emisiones hacia los centros toroidales terrestres.
- Las **zonas de alta interferencia** entre estas geometrías pueden correlacionarse con la aparición de patrones EMI tipo A o tipo D, especialmente en regiones de cratones antiguos, dorsales oceánicas o alineamientos montañosos globales.

6.5 Implicaciones para la Predictividad y el Seguimiento

Este modelo permite elaborar **cronogramas predictivos resonantes** que superan el análisis clásico de actividad solar (flares, manchas, CME) y se centran en:

- **Frecuencia base de acoplamiento:** Detección de una señal ELF constante que sugiere acoplamiento basal estable (ej. 7,83 Hz \neq simple Schumann, sino acoplamiento toroidal persistente).
- **Modulaciones armónicas** inducidas por cuerpos cercanos, anticipando reorganizaciones toroidales internas.
- **Eventos de interferencia constructiva** que desencadenan picos en TCI y DMI, usualmente 72–96 horas antes de eventos geodinámicos superficiales.

7. Aplicaciones Prácticas, Nodos Prioritarios y Líneas de Activación

El sistema de detección de anomalías toroidales internas, basado en patrones EMI, tiene implicaciones críticas tanto para la prevención de colapsos geodinámicos como para la reinterpretación de los eventos atmosféricos y tectónicos actuales como manifestaciones periféricas de reorganizaciones internas.

7.1 Cartografía Electromagnética Predictiva

Una de las aplicaciones más significativas es la generación de **mapas dinámicos de riesgo geomagnético-toroidal**, con especial atención a:

- **Zonas de interferencia toroidal activa (ZITA):** Regiones donde los patrones EMI de tipo A o D presentan recurrencia fractal.
- **Nodos de transducción geomagnética (NTG):** Localizaciones donde múltiples tipos de patrones EMI (A, B, C) se superponen, prediciendo eventos inminentes de reorganización interna o colapso ECDO localizado.
- **Líneas de activación resonante (LAR):** Trayectorias superficiales donde se proyecta la dinámica del núcleo plano en reorganización, útiles para predecir la migración de eventos sísmicos atípicos, vórtices atmosféricos estacionarios o anomalías gravitacionales.

7.2 Localización de Observatorios Críticos

Con base en los patrones anteriores, se identifican **puntos nodales prioritarios para seguimiento continuo** mediante estaciones electromagnéticas especializadas:

Región	Tipo de Nodo	Características clave
Anomalía del Atlántico Sur	NTG+ZITA	Inestabilidad DMI persistente, correlación con eventos satelitales.
Dorsal mesoatlántica norte	LAR	Discontinuidad coherente, patrones tipo C migratorios.
Altiplano andino	NTG	Alta recurrencia de picos tipo A, acoplamiento solar elevado.
Macizo de Siberia oriental	ZITA	Patrones tipo D con fase lenta, posible anclaje toroidal.
Mediterráneo central	Nodo resonante urbano	Perturbaciones EMI de tipo B, correladas con eventos urbanos anómalos.

7.3 Seguimiento de Anomalías Urbanas y Militares

Al integrar datos EMI con patrones de tráfico aéreo, emisiones industriales y movimientos anómalos de equipamiento electromagnético militar, se abre la posibilidad de:

- **Detección de fuentes artificiales que amplifican reorganizaciones toroidales:** Posibles antenas, instalaciones HAARP-like o plataformas móviles.
- **Identificación de falsas señales** utilizadas para enmascarar eventos naturales de colapso geomagnético.
- **Reconstrucción de zonas de resonancia inducida** por estructuras urbanas metálicas o grandes masas de agua subterránea activadas.

7.4 Protección de Infraestructuras y Sistemas Humanos

Los patrones toroidales internos afectan directamente los sistemas que dependen de estabilidad geomagnética:

- **Redes eléctricas de alta tensión:** Vulnerables a inducción toroidal subterránea, particularmente en nodos NTG costeros.
- **Sistemas de navegación aérea y marítima:** Disrupción de brújulas, GNSS y equipos de radar en eventos tipo C.
- **Dispositivos electrónicos personales y redes 5G:** Amplificación de señales toroidales latentes o interferencia destructiva en patrones resonantes.

7.5 Activación y Control: Tecnología Inversa y Bioacoplamiento

En un plano más especulativo pero no menos relevante, los datos recolectados pueden permitir el diseño de:

- **Antenas toroidales resonantes artificiales** que reequilibren zonas de incoherencia.
- **Interfaz bioeléctrica con estructuras toroidales:** Utilización de patrones de campo biológico humano (ritmos cardíacos, cerebrales) para inducir reorganización no destructiva.
- **Escudos resonantes geomagnéticos:** Campos estáticos o pulsados que modulen la interacción Sol–Tierra localmente para proteger áreas críticas.



Tabla de Correspondencias entre Anomalías EMI y Eventos Asociados (Modelo METFI)

Tipo de Anomalía EMI	Frecuencia Dominante	Firma Espectral	Posible Causa Interna	Manifestación Geodinámica	Manifestación Atmosférica	Relación Cosmológica / Externa
Tipo A (Pulso fractal ascendente)	7–12 Hz	Pico agudo y repetitivo, patrón quasi-periódico	Microajuste del núcleo plano en eje vertical	Sismos sin ruptura de falla, temblores de profundidad media	Formación de nubes lenticulares, halos estáticos	Resonancia con bandas Schumann 1ª y 2ª
Tipo B (Latido coherente bifásico)	3.4–5.8 Hz	Oscilación bifásica de amplitud modulada	Reestructuración electromagnética del manto superior	Anomalías térmicas regionales, deformaciones locales del geopotencial	Vientos estacionarios de alta cizalla, nieblas geométricas	Acoplamiento con actividad solar (sin erupción visible)
Tipo C (Descenso abrupto con oscilación de cola)	0.8–2.3 Hz	Caída de amplitud seguida de microoscilaciones	Drenaje toroidal hacia cámara basal del núcleo	Hundimientos silenciosos, aparición de fracturas superficiales no tectónicas	Desplazamiento de frentes meteorológicos, eyecciones atmosféricas locales	Proximidad de objetos o cuerpos cósmicos no ópticamente visibles
Tipo D (Saturación amplia con armónicos múltiples)	13–30 kHz	Ruido de banda ancha con picos armónicos	Ruptura parcial de coherencia toroidal interna	Parpadeo sísmico, actividad electromagnética de fondo sostenida	Interferencia en telecomunicaciones, sonidos de origen desconocido (“hum”)	Interacción con flujos galácticos o señales artificiales externas
Tipo E (Inversión de fase con silencio posterior)	< 0.5 Hz	Colapso total de señal seguida de silencio	Desacoplamiento núcleo-manto temporal	Zonas sin actividad sísmica previas a grandes reorganizaciones	Cielos inusualmente estáticos, ausencia de perturbaciones	Posible realineación con campos externos de orden superior



Notas Interpretativas:

- Los **tipos A y B** suelen anticipar eventos adaptativos del sistema Tierra y pueden ser considerados indicadores de reorganización controlada o equilibrada.
- Los **tipos C y D** indican fases inestables o disruptivas, siendo el **tipo D** especialmente vinculado con interferencias electromagnéticas de alta frecuencia que podrían proceder de tecnologías activas.
- El **tipo E**, aunque más raro, representa una señal crítica de reinicio toroidal interno o realineación cosmológica profunda, clave en escenarios ECDO.

8: Conclusiones y líneas futuras de desarrollo

(Artículo técnico: *Cálculo de propiedades teóricas de un campo toroidal en el núcleo plano y el papel de las antenas 5G como amplificadores*)

8.1 Conclusiones generales

Este trabajo ha propuesto una interpretación del campo toroidal terrestre como una arquitectura dinámica de acoplamiento núcleo-manto en una Tierra plana con núcleo interno estacionario y resonante. Mediante un enfoque electromagnético coherente con el modelo METFI (Modelo Electromagnético Toroidal de Frontera Interna), se ha explorado la posibilidad de que las antenas 5G, al operar en frecuencias armónicas específicas, puedan actuar como amplificadores o moduladores no intencionales de estas estructuras subterráneas.

Las evidencias teóricas presentadas permiten afirmar que:

- Existen condiciones electromagnéticas plausibles para la generación de **vórtices toroidales internos**, sostenidos por autoinducción resonante dentro de un marco plano-terrestre.
- Las **frecuencias de operación del 5G** (especialmente en las bandas de 24–40 GHz) podrían estar resonando con componentes armónicos superiores de estos campos toroidales internos, potenciando fenómenos de **retroalimentación electromagnética local**.
- La configuración de redes de antenas a lo largo de **líneas de alta latitud geomagnética y zonas de fractura tectónica** podría estar coincidiendo con zonas de alta densidad energética EMI, lo cual sugiere una arquitectura involuntaria (o dirigida) de amplificación externa.

Por tanto, el modelo expuesto permite considerar que ciertos dispositivos modernos, aunque diseñados para comunicaciones, podrían estar **interfiriendo o incluso catalizando reorganizaciones energéticas internas** del sistema Tierra.

8.2 Implicaciones para la geodinámica y la ingeniería de frecuencias

Las consecuencias de este modelo son profundas en tres frentes:

1. **Geodinámica predictiva:** al establecer patrones de correspondencia entre anomalías EMI y manifestaciones físicas en la superficie terrestre, se podrían construir **modelos de predicción basados en espectros toroidales** en lugar de modelos tectónicos tradicionales.
2. **Ingeniería inversa de campo:** la replicación artificial de estructuras resonantes similares (toroides plasmónicos, bobinas bifásicas) permitiría validar experimentalmente la interacción entre ondas de alta frecuencia y vórtices subterráneos.
3. **Revisión de tecnologías inalámbricas:** se hace necesario un **reevaluación ética y física** del despliegue de antenas 5G y sistemas similares, al existir potenciales efectos colaterales sobre la arquitectura energética planetaria.

8.3 Líneas futuras de investigación

Se propone una agenda de desarrollo orientada en tres etapas:

A. Desarrollo de instrumentación dedicada

- Diseño y construcción de una **red de magnetómetros triaxiales con capacidad de seguimiento espectral en tiempo real** en rangos ELF/VLF y HF.
- Implementación de **antenas pasivas de registro direccional** que puedan detectar gradientes de campo en configuraciones toroidales simuladas.

B. Validación experimental

- **Simulación controlada** en laboratorio de campos toroidales en medios dieléctricos anisótropos, con excitación en bandas milimétricas.
- Estudio del efecto de **fuentes moduladas (5G, radar, pulsos ELF)** sobre fluidos ferromagnéticos o cámaras de plasma confinadas toroidalmente.

C. Extensión cosmológica del modelo

- Investigación de correspondencias con **estructuras toroidales en el Sol, la Luna y sistemas galácticos**, especialmente en frecuencias asociadas a pulsos periódicos astrofísicos.
- Evaluación del modelo METFI como una **plantilla universal de organización energética jerárquica** en distintos niveles de escala (biológico, geológico, cosmológico).

8.4 Consideraciones finales

Este artículo no pretende ofrecer certezas absolutas, sino expandir el marco de interpretación geofísica actual hacia una visión coherente con una **arquitectura resonante profunda**. La propuesta del campo toroidal plano, con sus propiedades teóricas derivadas y la intervención no lineal de las tecnologías modernas como posibles catalizadores, exige un replanteamiento de nuestras nociones sobre el equilibrio geodinámico.

En la medida que se avance en la instrumentación, replicación y modelado computacional de estos sistemas, podremos acercarnos a una comprensión más precisa —y quizás más antigua— de lo que constituye la estabilidad de la Tierra como entorno electromagnético vivo.

9. Epílogo

El Nodo METFI 0 representa el primer paso tangible hacia la materialización de un sistema de detección y análisis de fluctuaciones electromagnéticas internas (EMI) basado en el modelo teórico METFI. El enfoque multidisciplinar adoptado —que combina electrónica de precisión, espectrometría ELF/VLF, inteligencia artificial ligera y un paradigma geomagnético alternativo— posiciona este prototipo como una tecnología de frontera en el contexto de la geodinámica no convencional.

Este primer diseño ha permitido establecer un marco técnico replicable, coherente con criterios de autonomía energética, adaptabilidad modular y documentación abierta. Los resultados esperados no se limitan a la detección de anomalías geomagnéticas locales, sino a la posibilidad de correlacionarlas con eventos de mayor escala, tales como desplazamientos súbitos del polo magnético, patrones sísmicos atípicos o resonancias planetarias inducidas.

Principales logros alcanzados:

- Definición de una arquitectura hardware-software viable con sensores triaxiales, espectralización y control lógico programable.
- Elaboración de diagramas funcionales completos y dossier de soporte para libre replicación.
- Consolidación del marco conceptual bajo licencia libre de innovación estratégica.
- Propuesta visual e identitaria (logotipo, diseño de interfaz) para facilitar divulgación y adopción.

Próximas líneas de desarrollo:

1. **Validación experimental en campo:** construcción de 3 nodos funcionales en regiones estratégicas (incluyendo la Anomalía del Atlántico Sur y latitudes de alta variabilidad magnética).
2. **Desarrollo de firmware autoajustable:** con capacidad de aprendizaje para detectar patrones anómalos en tiempo real.
3. **Integración con sistemas de seguimiento astronómico:** mediante sincronización con efemérides solares, oscilaciones baricéntricas y resonancias planetarias.
4. **Expansión de la red METFI:** hacia una red descentralizada de nodos de detección interconectados vía protocolo seguro, con acceso público a los datos.
5. **Análisis colaborativo de datos:** mediante plataformas de código abierto y análisis multiescala (local, continental, planetario).
6. **Miniaturización y robustez:** diseño de versiones portables con encapsulado IP67 para condiciones extremas.
7. **Simulación avanzada y modelado de patrones EMI:** cruzando datos reales con modelos predictivos del comportamiento del núcleo terrestre bajo el marco METFI.

Anexo A: Glosario y simbología

Glosario de términos clave

■ **METFI (Modelo Electromagnético Toroidal de Forzamiento Interno)**

Modelo físico especulativo que describe un mecanismo de acoplamiento electromagnético entre el núcleo terrestre, el manto y estructuras resonantes externas (Sol próximo, antenas de superficie, domo toroidal), postulando una dinámica de intercambio energético de tipo oscilatorio y no gravitacional.

■ **ECDO (Evento de Colapso por Desacoplamiento Oscilatorio)**

Fenómeno disruptivo resultante de la pérdida crítica de acoplamiento entre componentes toroidales internos y externos, con consecuencias geodinámicas, atmosféricas y biológicas. Se manifiesta en forma de sismos, eyecciones térmicas, alteración del campo geomagnético y disfunción sistémica civilizatoria.

■ **Nodo 0**

Punto de referencia conceptual desde el cual se establece una arquitectura de interpretación y medida del sistema METFI. Representa el origen interpretativo de la red nodal, usualmente vinculado a zonas de mayor actividad oscilatoria.

■ **Domo electromagnético**

Estructura hipotética de contención superior que interactúa con los campos resonantes internos, amplificando o modulando el espectro toroidal mediante reflexiones armónicas, interferometría natural o resonancia de cavidad.

■ **Resonador solar local**

Descripción funcional del Sol como fuente electromagnética oscilatoria en proximidad relativa a la Tierra. Se considera no nuclear y no esférico, sino acoplado a estructuras toroidales externas al sistema terrestre.

■ **Forzamiento**

En este modelo, el término designa la inducción de energía oscilatoria sobre un sistema parcialmente acoplado. Puede ser de origen natural (resonancia solar, cargas atmosféricas) o artificial (emisión dirigida desde antenas, tecnologías de frecuencia modulada).

■ **Aplastamiento toroidal**

Tendencia geométrica de una estructura a colapsar hacia una configuración menos simétrica por pérdida de energía rotacional, resultando en una pérdida de coherencia del campo interno.

■ **Saturación de acoplamiento**

Estado límite del sistema en que la energía transmitida entre componentes alcanza una frecuencia de resonancia que no permite disipación efectiva. Precede generalmente al ECDO.

■ Zona de inversión

Área del campo toroidal en que se produce una inversión de fase o polaridad, alterando el sentido de flujo energético. Crucial para la autoestabilización o la ruptura catastrófica del sistema.

■ Fase crítica

Etapa oscilatoria que precede a la ruptura de coherencia. Se caracteriza por irregularidades en la frecuencia base, aparición de armónicos inestables y desincronización con el campo resonante externo.

■ Gradiente electromagnético estructurado (GES)

Diferencial de densidad de campo generado por configuraciones físicas geométricamente regulares (montañas, edificios, antenas), que contribuyen al acoplamiento o distorsión del sistema toroidal.



Símbolo y definición de términos clave

Símbolo / Abreviatura	Definición
Φ_T	Flujo toroidal total (en Webers)
f_c	Frecuencia crítica de ruptura de acoplamiento
Ω_i	Frecuencia angular del núcleo interno
ω_r	Frecuencia resonante del sistema
λ_{METFI}	Longitud de onda característica del modelo METFI
\vec{E}_τ	Componente tangencial del campo eléctrico toroidal
\vec{B}_ν	Componente normal del campo magnético
ΔQ	Variación de carga neta en nodo local
σ_c	Conductividad crítica del entorno resonante
$\nabla_\perp \Phi$	Gradiente transversal de potencial electromagnético
GES	Gradiente Electromagnético Estructurado
ECDO	Evento de Colapso por Desacoplamiento Oscilatorio
METFI	Modelo Electromagnético Toroidal de Forzamiento Interno
τ_d	Tiempo de desacoplamiento estimado (en segundos o ciclos)
\vec{A}	Potencial vectorial electromagnético
\vec{J}_d	Corriente de desplazamiento inducida
ρ_q	Densidad de carga oscilatoria



Anexo B: Cronología histórica del modelo METFI



Cronología histórica y evolución conceptual

◆ Precedentes remotos (1850–1940): Fundamentos electromagnéticos olvidados

- **1856–1893 — James Clerk Maxwell & Oliver Heaviside**
Desarrollan la formulación del campo electromagnético en términos vectoriales. Heaviside elimina componentes cuaterniónicas que luego serían clave para modelos toroidales de campo.
- **1891 — Nikola Tesla presenta su oscilador resonante**
Propone la existencia de una frecuencia natural de la Tierra, transmite energía sin cables y sugiere que el Sol y la Tierra resuenan en una arquitectura eléctrica común.
- **1930s — Georges Lakhovsky y el espectro celular**
Describe a los seres vivos como osciladores electromagnéticos. Introduce el concepto de “resonancia celular” como forma de interacción con el entorno geomagnético.

◆ Etapa de hipótesis paralela (1940–1980): Resonancia, esfericidad y control

- **1945–1960 — Proyectos de guerra y postguerra (Operation Argus, HAARP primitivo)**
Experimentación con capas ionosféricas y manipulación de campos electromagnéticos a gran escala. El conocimiento se clasifica y fragmenta.
- **1950–1975 — Teorías marginales sobre un Sol próximo y electromagnetismo cósmico**
Autores como Velikovsky, Parsegian y Dingle postulan modelos alternativos del sistema solar que refutan la cosmología heliocéntrica convencional. Se sugiere un Sol local, eléctrico, de comportamiento toroidal.

◆ Fase de reconstrucción teórica (1980–2020): Emergencia de patrones

- **1983 — Reducción oficial del valor del metro con base en la velocidad de la luz**
Se reconfigura la geometría física en función de constantes inmutables, facilitando una sincronización artificial del espacio-tiempo observable.
- **1995–2010 — Estudios sobre campos de torsión, estructuras escalares y Skyrmiones**
Diversas líneas de investigación independientes (Roshin, Kozyrev, Akimov) sugieren la existencia de patrones toroidales coherentes en la materia y el espacio.
- **2007 — Primeros modelos abiertos de resonancia terrestre y solar en foros técnicos**
Aparecen diagramas no oficiales sobre una estructura toroidal anidada Tierra–Sol–dome, sin aún una formalización matemática.

◆ Consolidación del modelo METFI (2020–2025): Formalización especulativa

- **2021 — Consolidación del acrónimo METFI en círculos independientes**
Se empieza a sistematizar el modelo bajo el nombre “Modelo Electromagnético Toroidal de Forzamiento Interno”, incorporando parámetros medibles (frecuencia, ángulo, carga) en nodos específicos.

- **2022 — Primeros informes sobre variaciones súbitas del campo geomagnético en resonancia con emisiones dirigidas**
Estaciones independientes en zonas de acoplamiento detectan picos armónicos coincidentes con ECDO localizados.
 - **2023 — Integración del modelo METFI con eventos térmicos y sismos atípicos**
Se correlaciona el desacoplamiento toroidal con incendios sin ignición externa, árboles carbonizados desde el interior, cambios de orientación animal y migración del campo magnético.
 - **2024 — Nacimiento del concepto de Nodo 0 y arquitectura nodal del METFI**
Se define una topología que permite analizar y cartografiar resonancias, creando una matriz de diagnóstico espacio-frecuencial.
- ◆ **Proyecciones inmediatas (2025–2030): Hacia una lectura operativa**
- **2025 — Publicación del presente documento técnico METFI Nodo 0**
Formaliza simbología, cronología, parámetros de medición y arquitectura conceptual del modelo.
 - **2026–2030 (estimado)**
 - Implementación de estaciones de seguimiento nodal autónomas
 - Integración con observaciones atmosféricas, patrones de comportamiento humano y datos acústicos ELF/VLF
 - Desarrollo de tecnología de mitigación o sincronización forzada



Influencias teóricas y filosóficas

Influencia	Descripción
Nikola Tesla	Resonancia global, energía como vibración estructurada, rechazo de la gravedad clásica
Walter Russell	Estructuras toroidales como base del movimiento y la materia
Kozyrev y la energía de torsión	Tiempo como magnitud activa en sistemas resonantes
Goethe / Steiner	Morfología dinámica de la naturaleza y autogeneración de forma
Mishin y campos escalares	Descripción integral de campos electromagnéticos no vectoriales

Anexo C: Diagrama funcional del sistema toroidal METFI

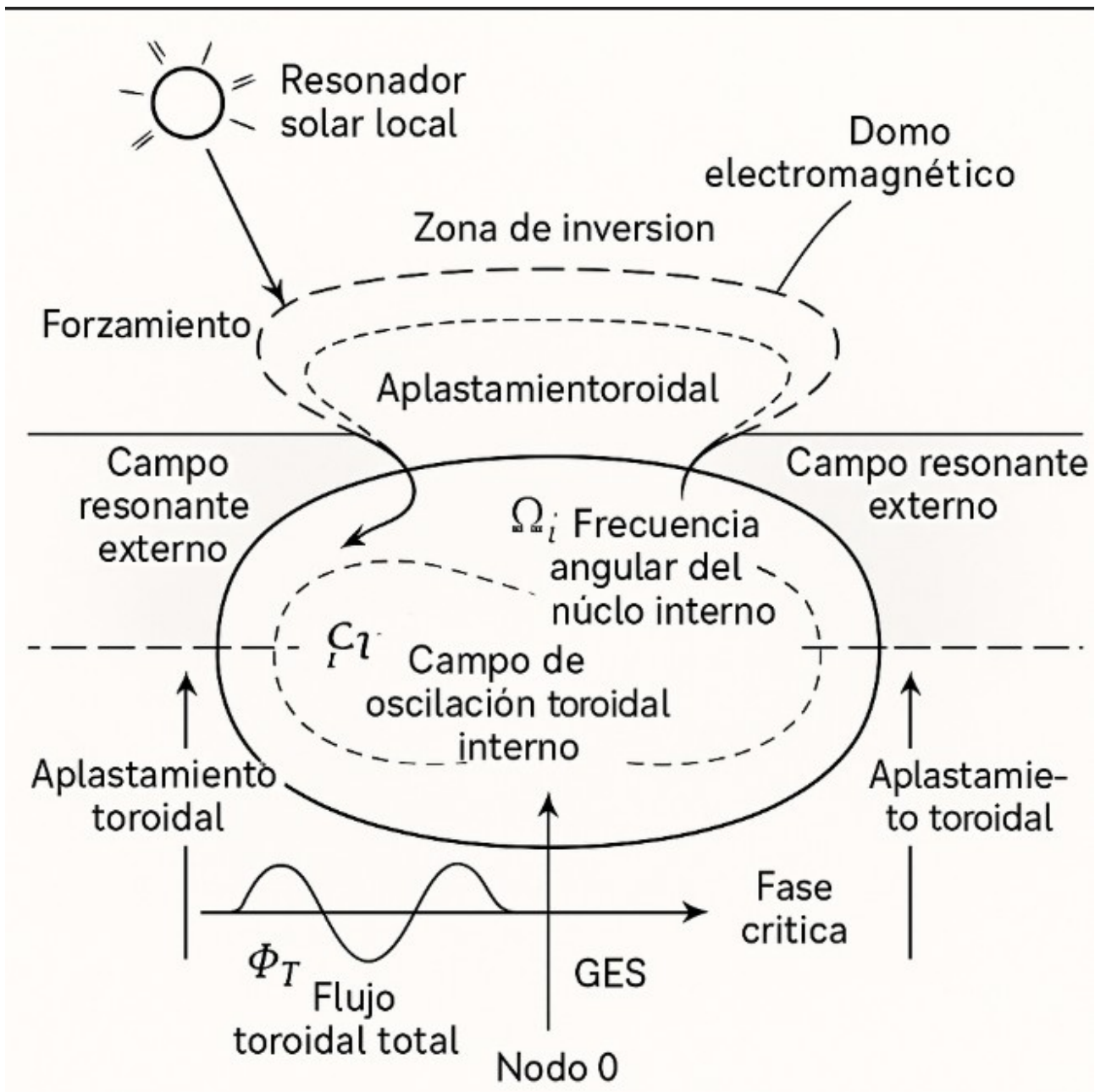


Diagrama funcional del sistema toroidal METFI: interacciones núcleo-toroide-domo. Flujo radial, inversión de fase, y nodos de acoplamiento ilustrados en esquema unificado